

비신뢰 양방향 중계 IoT 네트워크 성능 분석

이기훈^o, 정방철
충남대학교 전자공학과

kihun.h.lee@cnu.ac.kr, bcjung@cnu.ac.kr

1. 서론

사물인터넷(Internet of Thing: IoT) 네트워크는 주로 소형, 저비용, 저전력 특성을 갖는 단말을 기반으로 구성된다 [1]-[3]. 이 같은 특성을 바탕으로 [3]에서는 중계기만이 다중 안테나를 갖는 비신뢰 양방향 중계 IoT 네트워크를 고려한 물리 계층 보안 기술을 제안했다. 본 논문에서는 이와 동일한 통신 환경에서 각 IoT 단말의 통신 성능 향상을 위해, 두 번째 홉에서 잡음 제거-후-전달(Denoise-and-Forward: DF) 프로토콜 적용을 제안한다.

2. 제안하는 물리 계층 보안 기술

본 논문에서 고려하는 양방향 중계 IoT 네트워크의 시스템 모델과 첫 번째 홉에서 각 IoT 단말이 신뢰할 수 없는 중계기로 신호를 전송하는 과정은 [3]의 II와 같다. 하지만, 두 번째 홉에서는 증폭-후-전달(Amplify-and-Forward: AF) 대신 DF 프로토콜을 적용한다. 이때, 중계기는 각 IoT 단말과 동일하게 QPSK 변조기를 사용한다고 가정한다.

중계기는 첫 번째 홉에서 선형 결합한 신호 $\bar{y}_{R,t}$ ([3]-[4], $t \in \{1,2\}$)로부터 다음과 같은 Joint ML 검출기를 통해 잡음을 제거(denoise)한다:

$$[\hat{x}_{A,t}, \hat{x}_{B,t}] = \arg \min_{x_{k,t} \in \mathcal{X}} \left| \bar{y}_{R,t} - \sqrt{\frac{\gamma_{th}+1}{\alpha}} (x_{A,t} + x_{B,t}) \right|^2,$$

여기서 $x_{k,t} (k \in \{A,B\})$ 는 IoT 단말 k 가 t 번째 시간 슬롯에 전송한 QPSK 변조 신호를 나타내며, \mathcal{X} 는 정규화된 QPSK 신호의 집합을 의미한다. 또한, γ_{th} 와 α 는 각각 임계 무선 채널 이득 및 이에 따른 두 IoT 단말의 전송 확률을 나타낸다 [3].

이후 중계기는 두 신호($\hat{x}_{A,t}, \hat{x}_{B,t}$)에 배타적 논리합(XOR) 연산을 수행($x_{R,t} = \hat{x}_{A,t} \oplus \hat{x}_{B,t}$)하고 이 결과 신호를 시공간 블록 부호(space-time block code: STBC)에 기반하여 두 IoT 단말로 전달(forward)한다. 구체적으로 중계기는 다음과 같이 각 안테나($m \in \{1,2\}$)로 두 시간 슬롯(t)에 걸쳐 신호를 광역전파한다.

	$m = 1$	$m = 2$
$t = 1$	$x_{R,1}/\sqrt{2}$	$x_{R,2}/\sqrt{2}$
$t = 2$	$-x_{R,2}^*/\sqrt{2}$	$x_{R,1}^*/\sqrt{2}$

이에 따라 IoT 단말 k 로 t 번째 시간 슬롯에 수신되는 신호 $y_{k,t}$ 는 다음과 같이 쓸 수 있다:

$$y_{k,1} = (h_{k,1}x_{R,1} + h_{k,2}x_{R,2})/\sqrt{2} + w_{k,1},$$

$$y_{k,2} = (-h_{k,1}x_{R,2}^* + h_{k,2}x_{R,1}^*)/\sqrt{2} + w_{k,2},$$

여기서 $h_{k,m}$ 은 IoT 단말 k 와 중계기의 m 번째 안테나 사이 무선 채널을 나타내며, 본 논문에서 모든 채널은 서로 독립이고 $\mathcal{CN}(0,1)$ 의 동일한 레일리(Rayleigh) 분포를 따른다고 가정한다. 또한, $w_{k,t}$ 는 신호 송수신 과정에서 발생하는 열 잡음을 의미하며, 본 논문에서 모든 잡음은 $\mathcal{CN}(0, N_0)$ 의 분포를 따른다고 가정한다.

각 IoT 단말은 수신한 신호 $y_{k,t}$ 로부터 자기 채널

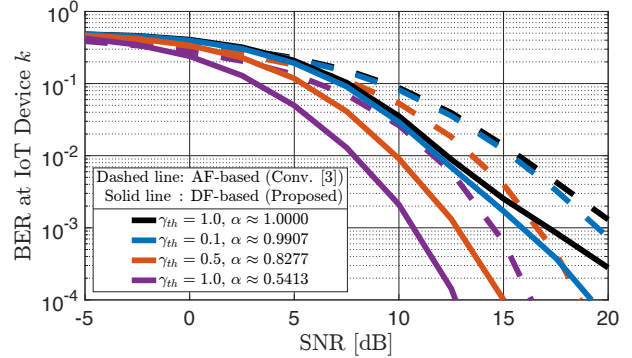


그림 1. 각 IoT 단말에서의 SNR 대비 BER 성능

정보를 통해 다음과 같이 STBC 복호화를 수행한다:

$$\begin{bmatrix} \bar{y}_{k,1} \\ \bar{y}_{k,2} \end{bmatrix} = \frac{1}{\sqrt{\gamma_k}} \begin{bmatrix} h_{k,1} & h_{k,2} \\ h_{k,2}^* & -h_{k,1}^* \end{bmatrix} \begin{bmatrix} y_{k,1} \\ y_{k,2} \end{bmatrix} = \frac{\sqrt{\gamma_k}}{2} \begin{bmatrix} x_{R,1} \\ x_{R,2} \end{bmatrix} + \begin{bmatrix} \tilde{w}_{k,1} \\ \tilde{w}_{k,2} \end{bmatrix}.$$

이후 아래와 같은 ML 검출기를 통해 중계기가 전송한 QPSK 신호를 검출한다:

$$\hat{x}_{R,t} = \arg \min_{x_{R,t} \in \mathcal{X}} |\bar{y}_{k,t} - x_{R,t}|^2.$$

마지막으로 각 IoT 단말은 검출한 중계기의 전송 신호와 첫 번째 홉에서 자신이 중계기로 전송한 신호를 XOR 연산($\hat{x}'_{k,t} = \hat{x}_{R,t} \oplus x_{k,t}$)함으로써 상대 IoT 단말의 전송 신호 $\hat{x}'_{k,t}$ 를 복호한다.

3. 모의실험 결과 및 결론

그림 1은 본 논문에서 제안한 비신뢰 양방향 중계 네트워크를 위한 무선 암호화 기술의 신호 대 잡음 비(SNR) 대비 비트 당 오류율(BER) 성능 모의실험 결과이다. 첫 번째 홉에서 [3]과 같은 과정을 통해 동작하므로 두 IoT 단말은 여전히 기밀성을 유지한 채 통신할 수 있다. 한편, 각 IoT 단말에서는 본 논문에서 제안한 잡음 제거-후-전달(DF, 실선)이 기존 증폭-후-전달(AF, 점선) 프로토콜을 적용할 때 보다 향상된 BER 성능을 보이는 것을 확인했다.

4. ACKNOWLEDGMENT

본 연구는 방위사업청과 국방과학연구소가 지원하는 미래전투체계 네트워크기술 특화연구센터 사업의 일환으로 수행되었습니다. (UD190033ED)

5. 참고 문헌

- [1] Z. Wei, C. Masouros, F. Liu, S. Chatzinotas and B. Ottersten, "Energy- and cost-efficient physical layer security in the era of IoT: The role of interference," *IEEE Commun. Mag.*, vol. 58, no. 4, pp. 81-87, Apr. 2020.
- [2] H. S. Jang, H. Jin, B. C. Jung and T. Q. S. Quek, "Versatile access control for massive IoT: throughput, latency, and energy efficiency," *IEEE Trans. Mobile Comput.*, vol. 19, no. 8, pp. 1,984-1,997, Aug. 2020.
- [3] 배유경, 이기훈, 정방철, "비신뢰 양방향 중계 네트워크를 위한 시공간 부호기반 무선 암호화 기술," *한국통신학회 하계종합학술발표회*, pp. 1,378-1,379, Aug. 2020.